



# Experimental Investigation of Anisotropy in API X65 Steel Pipe Using Charpy Fracture Energy

## ARTICLE INFO

**Article Type**  
Original Research

**Authors**  
Shojaeddin M<sup>1</sup>,  
Hashemi SH<sup>1\*</sup>,  
Majidi-Jirandehi AA<sup>2</sup>.

### How to cite this article

Shojaeddin M, Hashemi SH, Majidi-Jirandehi AA. Experimental Investigation of Anisotropy in API X65 Steel Pipe Using Charpy Fracture Energy. Modares Mechanical Engineering. 2022; 22 (06):407-417.

## ABSTRACT

To use higher capacities in Iran's energy transmission systems, API standardized pipes made of API X65 steel have been utilized (made of the thermo-mechanically controlled rolling process, TMCR steels). The TMCR inherently increases the anisotropic properties of steel coils and plates used for pipe manufacturing. In addition, the production of helically welded pipe involves steps that can lead to different mechanical properties in different directions. The present study aims to measure the orientation dependence of the Charpy fracture energy. Therefore, the effect of changing the angle of specimens relative to the rolling direction and also the effect of changing the notch orientation (three notch A, B, and C in total) on the fracture energy in API X65 steel has been experimentally determined. The maximum change in the average Charpy fracture energy at different angles relative to the rolling direction is a maximum of 13% (in notch B), but the largest change in the average Charpy fracture energy between different notches is a maximum of 12.2% (at an angle of 0 °). As a result, the effect of changing the angle of the specimen relative to the rolling direction is greater than the effect of changing the notch orientation on the Charpy fracture energy. Also, at an angle of 67.5 degrees to the rolling direction (equivalent to the diagonal direction (D-D)), the most fracture energy for all notches was obtained. To quantitatively compare the fracture energy changes in different notches, an index called the anisotropy index has been presented.

**Keywords** Charpy Impact test, Anisotropy, Fracture Energy, Gas Transportation Pipeline, API X65 Steel

## CITATION LINKS

<sup>1</sup> Department of Mechanical Engineering, University of Birjand, Birjand, Iran.

<sup>2</sup> Department of Mechanical Engineering, Payame Noor University, Tehran, Iran.

\*Correspondence  
Address: Mechanical Engineering, University of Birjand, Birjand, Iran.  
POBox: 19395-3697  
shashemi@birjand.ac.ir

**Article History**  
Received: January 15, 2022  
Accepted: March 04, 2022  
ePublished: May 07, 2022

- [1] API Specifications.
- [2] Fracture propagation control for gas pipelines—past, present and future.
- [3] Effects of Mo, Cr, and V additions on tensile and Charpy impact properties of API X80 pipeline steels.
- [4] Experimental-numerical study on the feasibility of spirally welded pipes in a strain-based design context.
- [5] Effect of thermomechanical processing parameters on yield strength anisotropy in a niobium microalloyed steel
- [6] Crystallographically Controlled Mechanical Anisotropy of Pipeline Steel.
- [7] Anisotropy of Mechanical Properties of API-X70 Spiral Welded Pipe Steels.
- [8] Numerical analysis of factors influencing Charpy impact properties of TMCR structural steels using fuzzy modelling.
- [9] Study of macroscopic fracture surface characteristics of spiral welded API X65 gas transportation pipeline steel
- [10] Historical background and development of the Charpy test.
- [11] Effects of toughness anisotropy and combined tension, torsion, and bending loads on fracture behavior of ferritic nuclear pipe.
- [12] Microstructure-Texture Related Toughness Anisotropy of API-X80 Pipeline Steel.
- [13] Role of delamination and crystallography on anisotropy of Charpy toughness in API-X80 steel.
- [14] Texture dependent mechanical anisotropy of X80 pipeline steel.
- [15] High strength microalloyed CMn (V-Nb-Ti) and CMn (V-Nb) pipeline steels processed through CSP thin-slab technology.
- [16] Characterisation of weldment hardness, impact energy and microstructure in API X65 steel.
- [17] Standard Test Methods for Notched Bar Impact Testing of Metallic Materials.
- [18] Standard Specification for General Requirements for Steel Plates for Pressure Vessels.
- [19] Standard Test Methods and Definitions for Mechanical Testing of Steel Products.
- [20] Materials science and engineering: an introduction.

برای حداقل کردن هزینه و وزن در هر متر از خط لوله می‌باشد. در این میان لوله‌های استاندارد شده توسط موسسه بین‌المللی نفت آمریکا (American Petroleum Institute (API)، از جنس فولاد API با تنش تسلیمی در حدود ۴۴۸ مگاپاسکال و فولاد API X65 با تنش تسلیمی در حدود ۴۸۵ مگاپاسکال<sup>[۱]</sup> در سامانه‌های انتقال انرژی ایران، مورد توجه قرارگرفته است. این فولادها دارای مزایای متعددی از قبیل استحکام بالا به همراه چرمگی مناسب و Ductile to Brittle Transition (Temperature) (DBTT)، پایین هستند<sup>[۲]</sup>. در فولادهای خط لوله، دمای انتقال باید به اندازه کافی، کم باشد تا از شکست ترد ناگهانی، جلوگیری شود همچنین انرژی جذب شده حین شکست (انرژی شکست (Fracture energy))، باید به اندازه کافی، بالا باشد تا از انتشار شکست نرم ناپایدار، جلوگیری گردد<sup>[۳]</sup>.

جهت دست‌یابی به سطوح استحکام موردنیاز برای فولادهای خط لوله با درجه کیفیت بالا، فولاد معمولاً توسط فرآیند نورد کنترل شده ترمومکانیکی (Thermo-mechanical Controlled Process (TMCP)) تولید می‌شود<sup>[۴]</sup>. فرآیند نورد کنترل شده ترمومکانیکی به طور ذاتی خواص مواد ناهمسانگرد (Anisotropy) را در ورق لوله فولادی (Steel Skelp) ایجاد می‌کند. بنابراین خواص مکانیکی آن، بستگی به جهت بارگذاری نسبت به جهت نورد دارد. این رفتار ناهمسانگرد در استحکام، انرژی شکست و انعطاف‌پذیری دیده می‌شود<sup>[۵]</sup>. علاوه‌براین، از آنجا که لوله‌های جوشکاری شده مارپیچ (Spiral) با شروع از مواد خام نامتجانس (Heterogeneous) به صورت سرد شکل می‌گیرند و فرآیند شکل‌دهی، جهت نورد را بر حسب زاویه شکل‌گیری، تغییر می‌دهد، بنابراین لوله تولید شده به طور ذاتی خواص ناهمسانگردی دارد. در نتیجه، تولید لوله جوشکاری شده مارپیچ، می‌تواند منجر به ایجاد خواص مکانیکی متفاوتی در جهات مختلف شود<sup>[۶]</sup>.

اگر ناهمسانگردی زیادی در خواص مکانیکی فولاد وجود داشته باشد، ممکن است عامل بالقوه‌ای برای شکست ناشی از تنש‌های محیطی اعمال شده، باشد که بر اساس داده‌های آزمون‌های کیفی، قابل پیش‌بینی نبوده است. برای فولادسازان، دانستن و کنترل ناهمسانگردی فولاد برای حذف هر پاسخ مکانیکی غیرمنتظره در حین بهره‌برداری مهم است. حتی اگر خواصی همچون انرژی شکست شارپی و استحکام، حداقل خصوصیات لازم را برآورده کنند، وجود ناهمسانگردی، برای مثال پایداری لوله در مقابل کمانش را به مخاطره می‌اندازد<sup>[۷]</sup>.

آزمایش ضربه شارپی یکی از روش‌هایی است که اطلاعات ارزشمندی را در مورد خواص ضربه‌ای مواد در اختیار طراحان و مهندسان قرار می‌دهد. به‌کمک این آزمایش می‌توان انتقال بین حالت شکست نرم و ترد را در فولادها نمایش داد. آزمایش ضربه شارپی با شیار V-Notch (CVN) impact test (Charpy V-Notch) (CVN) impat test است. طی یک قرن گذشته صنعت گاز به‌منظور استفاده از ظرفیت‌های بالاتر در انتقال گازها از سامانه‌های انتقال پرفسار با کارایی بیشتر استفاده کرده است. لازمه این کار استفاده از خطوط لوله‌ای فولادی با قطر خارجی بزرگ‌تر و دیواره نازک‌تر

## بررسی تجربی ناهمسانگردی در لوله فولادی ایکس شصت و پنج با استفاده از انرژی شکست شارپی

مجتبی شجاع الدین

گروه مهندسی مکانیک، دانشکده مهندسی دانشگاه بیرجند، بیرجند

سیدحاجت هاشمی \*

گروه پژوهشی مطالعات لوله و صنایع وابسته دانشگاه بیرجند، بیرجند

علی اکبر مجیدی جیرنه‌ها

گروه مهندسی مکانیک، دانشگاه پیام نور، ایران، تهران

### چکیده

به‌منظور استفاده از ظرفیت‌های بالاتر در سامانه‌های انتقال انرژی ایران، لوله‌های استاندارد شده API از جنس فولاد API موردو توجه قرارگرفته است. جهت دست‌یابی به سطوح استحکام موردنیاز، استفاده از فرآیند نورد کنترل شده ترمومکانیکی اجتناب‌ناپذیر است. این فرآیند ذاتاً خواص مواد ناهمسانگرد را در ورق لوله فولادی ایجاد می‌کند. علاوه‌براین، تولید لوله جوشکاری شده مارپیچ شامل مراحلی است که می‌تواند منجر به ایجاد خواص مکانیکی متفاوتی در جهات مختلف شود. هدف تحقیق حاضر این است که وابستگی به جهت انرژی شکست شارپی، اندازه گیری شود. از این‌رو، اثر تغییر زاویه نمونه استخراجی نسبت به جهت نورد و همچنین اثر تغییر جهت شیار نمونه شارپی (در کل سه جهت شیار A، B و C) بر انرژی شکست فولاد X65 بهصورت تجربی بررسی شده است. بیشترین تغییرات میانگین انرژی شکست شارپی در زوایای مختلف نسبت به جهت نورد، حد اکثر ۱۳ درصد است (در جهت شیار B) ولی بیشترین تغییرات میانگین انرژی شکست شارپی بین جهات شیار مختلف، حد اکثر ۱۲/۲ درصد است (در زاویه صفر درجه). در نتیجه اثر تغییر زاویه نمونه استخراجی نسبت به جهت نورد بر روی انرژی شکست شارپی، بیشتر از اثر تغییر جهت شیار نمونه است. همچنین، در زاویه ۶۷/۵ درجه نسبت به جهت نورد (معادل با جهت قطعی لوله)، بیشترین انرژی شکست برای تمامی جهات شیار حاصل شد. بنابراین می‌توان انتظار داشت که در جهت قطعی لوله، احتمال ایجاد و شد ترک تحت بار ضربه‌ای کمتر باشد. به‌منظور مقایسه کمی تغییرات انرژی شکست در جهات شیار متفاوت، برای نخستین بار شاخصی با عنوان شاخص ناهمسانگردی تعریف و ارائه شده است.

**کلیدواژه‌ها:** آزمایش ضربه شارپی، ناهمسانگردی انرژی شکست، لوله انتقال گاز، انرژی شکست، فولاد ای پی آی ایکس ۶۵

تاریخ دریافت: ۱۴۰۰/۱۰/۲۵

تاریخ پذیرش: ۱۴۰۰/۱۲/۱۳

\*نویسنده مسئول: shhashemi@birjand.ac.ir

### ۱- مقدمه

در سال‌های اخیر کاربرد لوله‌های فولادی به دلیل مقرن‌بهره بودن در مقایسه با سایر روش‌ها در صنعت انتقال انرژی (نفت و گاز) افزایش یافته است. طی یک قرن گذشته صنعت گاز به‌منظور استفاده از ظرفیت‌های بالاتر در انتقال گازها از سامانه‌های انتقال پرفسار با کارایی بیشتر استفاده کرده است. لازمه این کار استفاده از خطوط لوله‌ای فولادی با قطر خارجی بزرگ‌تر و دیواره نازک‌تر

نشان داده‌اند، و برحسب دماهای انتقال نرم به ترد، درجه‌گیری ۴۵ درجه نسبت به جهت نورد، انرژی شکست کمترین مقدار را دارا بوده است.

با بررسی منابع موجود، مشخص شد، در تمامی تحقیقات مرتبط با آزمایش ضربه شارپی فولادهای خط لوله API در صنایع نفت و گاز، تاکنون پژوهشی در ارتباط با بررسی تغییرات انرژی شکست شارپی فولاد API X65 نشده است. علاوه‌بر این، تحقیقاتی که بر روی سایر فولادها به صورت محدود و پراکنده انجام شده، فقط بر روی ورق تسمه نورد گرم شده بوده است و بر روی بدنه لوله واقعی که به شرایط بهره‌برداری نزدیک‌تر است، آزمایشی انجام نشده است. از آنجایی که انرژی شکست می‌تواند به عنوان یک معیار برای تخمین و بررسی چقمرمگی شکست در فولادهای کم‌آلیاژ پراستحکام مورد استفاده قرار گیرد، بنابراین می‌تواند اهمیت ویژه‌ای برای مهندسین طراح جهت طراحی بهینه خطوط لوله انتقال گاز داشته باشد. از این‌رو، بهدلیل اهمیت فوق العاده فولاد API در خطوط انتقال گاز ایران، در تحقیق حاضر، تغییرات انرژی شکست شارپی نمونه‌های با زوایای متفاوتی نسبت به جهت نورد و با سه جهت شیار مختلف عمود بر هم، از بدنه لوله فولادی (در مقیاس صنعتی) به قطر ۴۸ اینچ، توسط دستگاه ضربه شارپی با ظرفیت ۴۵۰ ژول، بررسی شده است. همچنین شاخصی با عنوان شاخص ناهمسانگردی، به منظور مقایسه کمی تغییرات انرژی شکست شارپی در جهات مختلف شیار، در این تحقیق ابداع و ارائه شده است.

## ۲-معرفی ماده و نحوه انجام آزمایش

لوله فولادی مورد آزمایش در این تحقیق، از نوع درز جوش مارپیچ می‌باشد. فولاد اولیه، توسط شرکت پوسکوی (POSCO) کره جنوبی با استفاده از روش نورد کنترل شده ترمومکانیکی و به صورت کلاف (رول) تولید می‌شود، سپس در شرکت لوله و تجهیزات سدید، شکل‌دهی و جوشکاری شده است. فولاد مربوطه از خانواده فولاد کم‌کربن پراستحکام و دارای مقادیر قابل توجهی عناصر ریزآلیاژی شامل تیتانیوم، وانادیوم و نیوبیوم می‌باشد. لوله موردنظر از جنس فولاد ایکس ۶۵ با حداقل تنفس تسیلیم ۶۵ هزار پوند بر اینچ مربع (معادل ۴۴۸ مگاپاسکال) با قطر خارجی ۱۲۱۹ میلی‌متر و ضخامت جداره ۱۴/۳ میلی‌متر است.

### ۲-۱-مشخصات مکانیکی فولاد آزمایش شده در تحقیق حاضر

مشخصات مربوط به فولاد مورد استفاده در این تحقیق API X65، توسط موسسه بین‌المللی نفت آمریکا استاندارد شده است<sup>[۱,15]</sup>. دارا بودن استحکام و چقمرمگی بالا و قابلیت جوش‌پذیری مناسب، ویژگی بارز این فولاد است<sup>[۱]</sup>. خواص مکانیکی این فولاد در جدول ۱ ارائه شده است. این فولاد با دو ریزساختار فریتی-پرلیتی و یا فریت سوزنی-بینیتی تولید می‌شود که ساختار دوم، به دلیل ترکیب بهتر استحکام و چقمرمگی، مقاومت بیشتر در برابر خوردگی و همچنین

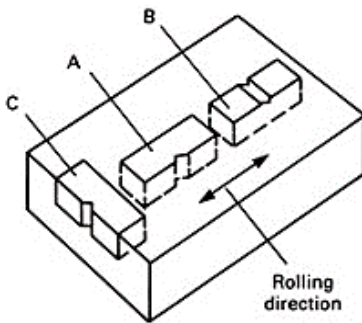
این حال، تجزیه و تحلیل آن سخت است زیرا بسیاری از عوامل مثل اندازه دانه، عناصر آلیاژی، پارامترهای تولید، بافت کریستالی و کار شکست می‌توانند بر روی انرژی شکست تأثیر بگذارند. با این وجود، بسیاری از محققان تلاش کرده‌اند تا روابط کمی، خطی یا غیرخطی بودن، بین انرژی ضربه شارپی و عوامل تأثیرگذار بالقوه را کشف کنند<sup>[۸]</sup>. علاوه‌بر این، از آزمایش شارپی می‌توان برای تعیین میزان درصد شکست نرم (بروشی) استفاده کرد که بیانگر کیفیت فولادهای خطوط انتقال انرژی است<sup>[۹]</sup>. بنابراین این آزمایش، به عنوان ابزاری بالهمیت در شناخت خواص مکانیکی است و ریشه بسیاری از تحقیقات می‌باشد<sup>[۱۰]</sup>.

در تحقیق انجام شده توسط موهان<sup>[۱۱]</sup> و همکاران، انرژی شکست شارپی برای دو فولاد با درصد های گوگرد متفاوت، اندازه‌گیری شده است. مشاهدات جالب این است که درجه ناهمسانگردی (Degree of anisotropy) برای فولاد با درصد گوگرد بالاتر، کمتر و تغییرات به صورت خطی است. این به دلیل آن است که سولفیدها در آیاژ کم‌گوگرد، نسبتاً بیشتر کشیده شده بودند. همچنین، برای فولاد با درصد گوگرد کمتر، ناهمسانگردی بیشتر دیده شده و منحنی آن به صورت غیرخطی و سینوسی است.

تحقیقی که توسط گارسیا<sup>[۱۲]</sup> و همکاران بر روی فولاد خط لوله API X80 انجام شده است، نشان می‌دهد که در محدوده دمای انتقال نرم به ترد، حداقل انرژی شکست، با کمترین کسر حجمی بینیت پائینی (Lower Bainite) بر روی صفحه شکست، مرتبط است که در زاویه ۴۵ درجه نسبت به جهت نورد ایجاد شده است. در این تحقیق، در زاویه ۹۰ درجه نسبت به جهت نورد، بیشترین انرژی شکست مشاهده می‌شود.

در تحقیق انجام شده توسط جو<sup>[۱۳]</sup> و همکاران، آزمایش ضربه شارپی بر روی فولادهای API X80 در جهت‌گیری‌های مختلف با شیارهایی عمود بر صفحه ورق به منظور ارزیابی ناهمسانگردی انرژی شکست انجام شده است. در نمونه‌های آزمایش شده توسط آنها، در برخی از سطوح شکست، به علت وجود ریزساختار نواری (Banded structure)، ترک‌های طولی موازی با صفحه نورد دیده شده است که حالت شکست در این ترک‌ها به صورت شکست نرم بوده است. آنها با عملیات حرارتی کردن فولاد موردنظر، ریزساختار نواری را حذف کردند. در نتیجه، ترک‌های لایه‌ای (Delamination) در نمونه‌های شکسته شده شارپی، با موفقیت حذف شده است. با این حال، همچنان ناهمسانگردی قوی در جهت قطری (یعنی زاویه ۴۵ درجه نسبت به جهت نورد) مشاهده شده است.

مورینو<sup>[۱۴]</sup> و همکاران به منظور بررسی ناهمسانگردی خواص مکانیکی فولاد خط لوله API X80، آزمایش‌های کشش و ضربه در زوایای ۰، ۴۵، ۶۷/۵ و ۹۰ درجه نسبت به جهت نورد، انجام داده‌اند. در این تحقیق، انرژی جذب شده نمونه‌های آزمایش ضربه شارپی برحسب جهت‌گیری نمونه در دماهای انتخاب شده به ترتیب برای ورق‌های فولادی API X80 و B2 اندازه‌گیری شده است و نتیجه‌گیری شده است که تمام آیاژ‌های موردمطالعه رفتار ناهمسانگردی مشابه‌ای را از خود



شکل ۲) موقعیت و جهت‌گیری‌های نمونه‌های شارپی با جهت شیار A، B و C در زاویه صفر درجه نسبت به جهت نورد در فلز پایه.

توجه شود که جهت شیار C، تاجائی که نویسندها می‌دانند، برای اولین بار است که در این تحقیق مورد توجه قرار گرفته است و یکی از نوآوری‌های این تحقیق به شمار می‌آید.

#### ۴-۲-آماده سازی نمونه‌ها

ابتدا قطعه‌ای به طول ۱ متر و عرض  $1/5$  متر توسط دستگاه سنگ‌فرز از بدنه لوله فولادی به قطر ۴۸ اینچ جدا شده است (شکل ۳ الف). سپس توسط دستگاه برش با آب (Water Jet)، ورق اولیه بریده شده در مرحله قبل، به قطعات مستطیلی کوچکتری (به طول ۱۰۰ و عرض ۸۰ میلی‌متر) جهت استخراج نمونه‌های استاندارد، برش زده شده است. در ادامه، به منظور کاهش ضخامت ورق‌ها از  $14/3$  میلی‌متر به  $10$  میلی‌متر، عملیات سنگ‌زنی مغناطیسی تخت، بر روی دو طرف هر ورق، به طور کاملاً یکسان، انجام شد تا از هر دو سمت، به مقدار برابر، برادرداری انجام شود و قطعه از نظر موقعیت، کاملاً در وسط ضخامت لوله قرار گیرد. شکل ۳ بخشی از مراحل مختلف آماده‌سازی نمونه‌ها را نشان می‌دهد.

در نهایت، بعد از تهیه نقشه ابعاد و چیدمان نمونه‌ها با سه جهت شیار متفاوت در هر بلوك مستطیلی، مطابق استاندارد ASTM E23، عملیات ساخت نهایی نمونه‌ها، توسط ماشین تخلیه الکتریکی (Wire-cut) به اتمام رسیده است. هر نمونه، در حدود  $1300$  میلی‌متر مربع وایرکات شده است. مطابق استاندارد ASTM، آزمایش ضربه شارپی فولاد خط لوله، باید با ۳ نمونه انجام شود<sup>[18,19]</sup>.



شکل ۳) (الف) برش لوله فولادی به وسیله سنگ فرز. (ب) عملیات واترجمت صفحه اولیه توسط دستگاه واترجمت.

جدول ۱) خواص مکانیکی فولاد ایکس ۶۵ (اندازه‌گیری شده در جهت محیطی) و مقایسه آن با استاندارد API [1,15].

پارامتر (مگاپاسکال)	استحکام تسیلم			استحکام کششی (مگاپاسکال)		
	نسبت استحکام درصد از دید طول (%)	تسیلم به (%)	استحکام کششی	استاندارد اندازه-اندازه-	استاندارد گیری	استاندارد گیری
استاندارد گیری API شده شده	۳۰	۱۴	۰/۷۷	---	۵۸۲	۵۳۱
استاندارد گیری API شده شده	۳۴	---	۰/۸۶	---	۶۲۴	۵۳۸
استاندارد گیری API شده شده	۳۸	---	۰/۸۹	۰/۹۳	۶۷۲	۷۵۸
					۵۸۹	۵۹۸

جوش‌پذیری عالی در خطوط انتقال انرژی، ارجحیت دارد. ترکیب ویژگی‌های مذکور اجازه می‌دهد این نوع فولاد در ساخت لوله‌های با قطر زیاد، جهت استفاده در خطوط انتقال نفت و گاز در مناطق سردسیر کاربرد داشته باشد<sup>[16]</sup>.

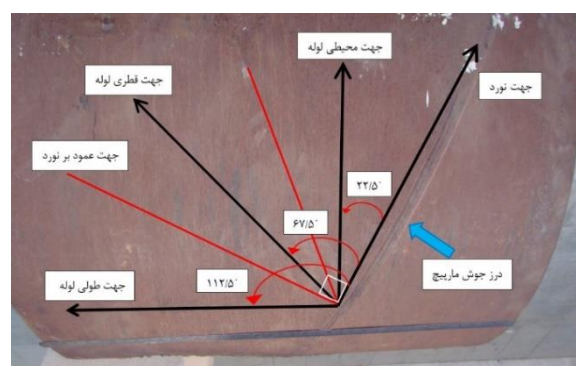
#### ۲-۲-هنده نمونه

نمونه، قطعه‌ای از ماده موردنظر به طول  $55$  میلی‌متر و مقطع  $10 \times 10$  میلی‌متر است که شیاری به عمق  $2$  میلی‌متر با زاویه  $45$  درجه در مرکز دارد<sup>[17]</sup>. اندازه، تلرانس و مشخصات شیار از جمله ویژگی‌های قابل توجه در ساخت نمونه‌ها می‌باشند. با این حال، تغییرات در ابعاد شیار، به طور جدی نتایج آزمایش‌ها را تحت تأثیر قرار می‌دهد و رعایت تلرانس‌های داده شده در استاندارد ضروری است<sup>[17]</sup>.

#### ۳-۲-موقعیت و جهت‌گیری نمونه‌های استخراجی

نمونه‌های لازم برای انجام آزمایش از بدنه یک لوله واقعی به قطر  $48$  اینچ از جنس فولاد API X65 و با زوایای  $22/5$  درجه نسبت به یکدیگر و با شروع از جهت نورد که متناظر با درز جوش مارپیچ است، استخراج و ساخته شده است. شکل ۱ تصویر کلی از لوله به همراه زوایای متناظر با جهت‌های اصلی لوله را نشان می‌دهد که نمونه‌ها تحت این زوایا از لوله استخراج شده است.

همچنین در یک زاویه مشخص، موقعیت و جهت‌گیری‌های نمونه‌های شارپی با جهت شیار A، B و C نسبت به یکدیگر در شکل ۲ نمایش داده شده است.

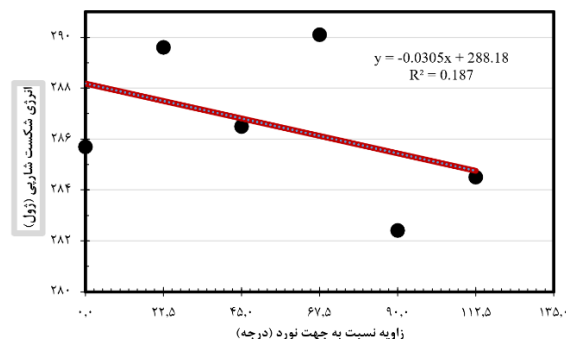


شکل ۱) تصویر کلی از لوله به همراه زوایای متناظر جهت‌های اصلی لوله با زوایای نمونه نسبت به جهت نورد.

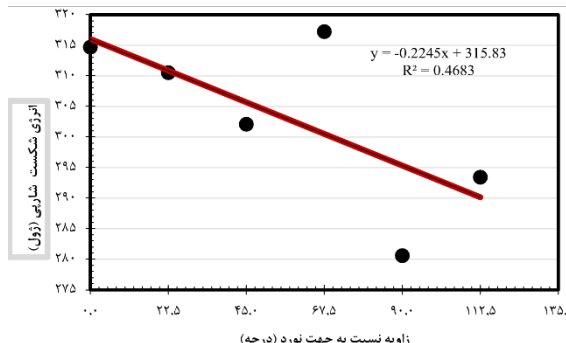
### ۱-۳-بررسی ناهمسانگردی انرژی شکست شارپی

مقادیر انرژی شکست دریافت شده از نمایشگر دستگاه و میانگین آنها، براساس موقعیت و جهت‌گیری نمونه‌های استخراجی شارپی در هر سری آزمایش در جدول ۲ ارائه شده است. نمودار تغییرات انرژی شکست شارپی بر حسب زاویه نسبت به جهت نورد برای نمونه‌های با جهت شیار A، B و C به ترتیب در شکل‌های ۶ تا ۸ نشان داده شده است.

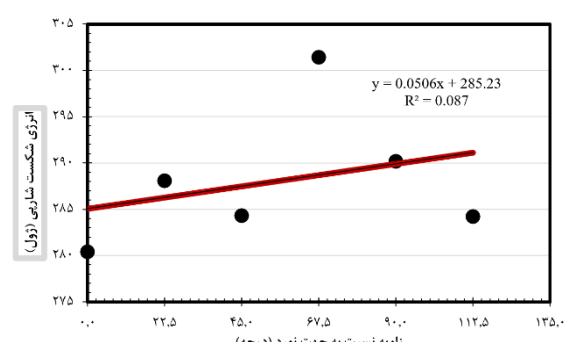
در جهت شیار A، تغییرات انرژی شکست میانگین بین ۲۸۲/۴ ژول در زاویه ۹۰ درجه تا ۲۹۰/۱ ژول در زاویه ۶۷/۵ درجه است. درصد تغییرات میانگین انرژی شکست در جهت شیار A، B و C % ۲/۷ می‌باشد.



شکل ۶) نمودار تغییرات میانگین انرژی شکست شارپی نسبت به جهت نورد برای نمونه‌های با جهت شیار A.



شکل ۷) نمودار تغییرات میانگین انرژی شکست شارپی نسبت به جهت نورد برای نمونه‌های با جهت شیار B.



شکل ۸) نمودار تغییرات میانگین انرژی شکست شارپی نسبت به جهت نورد برای نمونه‌های با جهت شیار C.

### ۲-۵-انجام آزمایش

کلیه آزمایش‌ها برای نمونه‌های استخراجی از لوله با شش زاویه مختلف نسبت به جهت نورد، توسط دستگاه ضربه شارپی با ظرفیت ۴۵۰ ژول، مستقر در آزمایشگاه ضربه دانشگاه پیام‌نور کرمان در دمای محیط انجام شده است. برای هر زاویه، به منظور تکرارپذیری نتایج و بررسی دقیق نتایج، آزمایش سه بار تکرار شده و پس از انجام هر آزمایش، انرژی شکست توسط نمایشگر دستگاه (دایال Dial) اندازه‌گیری و ثبت شده است. دقیق اندازه‌گیری انرژی توسط نمایشگر دستگاه، ۰/۱ ژول می‌باشد. بر مبنای زاویه رهاسازی پاندول، سرعت چکش در لحظه برخورد با نمونه m/s ۲۶/۵ است. نمای کلی دستگاه ضربه شارپی در شکل ۴ نمایش داده شده است.



شکل ۴) نمای کلی دستگاه ضربه شارپی در آزمایشگاه ضربه دانشگاه پیام‌نور کرمان.

### ۳-نتایج اولیه آزمایش

کلیه آزمایش‌ها بر روی ۶ گروه ۹ تایی (جمعاً ۵۴ نمونه) انجام و نتایج آزمایشگاهی به دست آمده است که در ادامه بررسی می‌شود. از آنجایی که فولاد API X65 در دسته فولادهای کم‌آلیز پراستحکام (HSLA) قرار داشته و بسیار نرم و دارای چرمگی بالا است، بنابراین حین انجام آزمایش و بعد آن، نمونه‌ها به دو بخش مجزا تقسیم نمی‌شوند. در شکل ۵ تصویر تعدادی از نمونه‌های آزمایش پس از شکست، نشان داده شده است.



شکل ۵) تصویر تعدادی از نمونه‌های آزمایش شده پس از شکست.

جدول ۲) مقادیر انرژی شکست بدست آمده از نمایشگر دستگاه و میانگین انرژی شکست در هر سری آزمایش براساس موقعیت و جهت‌گیری نمونه‌های استخراجی شارپی.

میانگین انرژی شکست از نمایشگر دستگاه (زول)	انحراف معیار (زول)	انرژی شکست از نمایشگر دستگاه (زول)	کد نمونه	زاویه نمونه نسبت به جهت نور	میانگین انرژی شکست از نمایشگر دستگاه (زول)	انحراف معیار (زول)	انرژی شکست از نمایشگر دستگاه (زول)	کد نمونه	زاویه نمونه نسبت به جهت نور
۲۹۰/۱	۳/۶۳	۲۸۸/۵	A <sub>1</sub>		۲۸۵/۷	۱/۶۱	۲۸۴	A <sub>1</sub>	
		۲۹۴/۳	A <sub>2</sub>				۲۸۷/۲	A <sub>2</sub>	
		۲۸۷/۶	A <sub>3</sub>				۲۸۶/۰	A <sub>3</sub>	
۳۱۷/۲۳	۲۲/۲۷	۳۱۰/۱	B <sub>1</sub>		۳۱۴/۷	۱۲/۹۳	۳۰۷/۷	B <sub>2</sub>	.
		۳۴۲/۲	B <sub>2</sub>	۶۷/۵			۳۲۹/۷	B <sub>3</sub>	
		۲۹۹/۴	B <sub>3</sub>				۳۰۷/۳	C <sub>1</sub>	
۳۰۱/۴	۷/۴۲	۳۰۲/۱	C <sub>1</sub>		۲۸۰/۴	۱۷/۸۸	۲۵۷/۷	C <sub>2</sub>	
		۳۰۸/۵	C <sub>2</sub>				۲۷۲/۴	C <sub>3</sub>	
		۲۹۳/۷	C <sub>3</sub>						
۲۸۲/۴	۴/۶۴	۲۸۷/۶	A <sub>1</sub>		۲۸۹/۶	۱/۴۴	۲۹۰/۵	A <sub>1</sub>	
		۲۷۸/۶	A <sub>2</sub>				۲۸۸/۰	A <sub>2</sub>	
		۲۸۱/۱	A <sub>3</sub>				۲۹۰/۵	A <sub>3</sub>	
۲۸۰/۶	۶/۸۷	۲۸۷/۶	B <sub>1</sub>		۳۱۰/۵	۲/۳۵	۳۱۲/۸	B <sub>2</sub>	۲۲/۵
		۲۷۵/۷	B <sub>2</sub>	۹۰			۳۰۸/۱	B <sub>3</sub>	
		۲۹۰/۹	B <sub>3</sub>				۲۸۸/۵	C <sub>1</sub>	
۲۹۰/۲	۰/۸۳	۲۹۰/۵	C <sub>1</sub>		۲۸۸/۱	۱/۴۹	۲۸۹/۳	C <sub>2</sub>	
		۲۸۹/۳	C <sub>2</sub>				۲۸۶/۴	C <sub>3</sub>	
		۲۹۰/۱	C <sub>3</sub>						
۲۸۴/۵	۵/۵۵	۲۸۴/۴	A <sub>1</sub>		۲۸۶/۵	۵/۳۷	۲۹۱/۳	A <sub>1</sub>	
		۲۷۹/۰	A <sub>2</sub>				۲۸۷/۶	A <sub>2</sub>	
		۲۹۸/۲	A <sub>3</sub>				۲۸۰/۷	A <sub>3</sub>	
۲۹۳/۴	۵/۹۲	۲۸۶/۸	B <sub>1</sub>		۳۰۲/۱	۳/۸۱	۳۰۴/۵	B <sub>2</sub>	۴۵
		۲۹۵/۳	B <sub>2</sub>	۱۱۲/۵			۳۰۴/۱	B <sub>3</sub>	
		۲۸۴/۸	B <sub>3</sub>				۲۸۴	C <sub>1</sub>	
۲۸۴/۲	۰/۹۸	۲۸۴/۸	C <sub>1</sub>		۲۸۴/۳	۳/۰۶	۲۸۷/۶	C <sub>2</sub>	
		۲۸۳/۱	C <sub>2</sub>				۲۸۱/۵	C <sub>3</sub>	
		۲۸۳/۱	C <sub>3</sub>						

بهوضوح دیده می‌شود. در جهت شیار B، تغییرات انرژی شکست میانگین بین ۲۸۰/۶ ژول در زاویه ۲۸۰/۶ درجه تا ۳۱۷/۲۳ ژول در زاویه ۶۷/۵ درجه است. درصد تغییرات میانگین انرژی شکست جهت شیار B، ۱۳ % می‌باشد که نشان‌دهنده این است که در جهت شیار B، ناهمسانگردی بیشتری نسبت به سایر جهات شیار دیگر در انرژی شکست وجود دارد. در جهت شیار C، تغییرات انرژی شکست میانگین، بین ۲۸۰/۴ ژول در زاویه صفر درجه تا ۳۰۱/۴ ژول در زاویه ۶۷/۵ درجه است. با برآش خطی بر روی داده‌های میانگین انرژی شکست در جهت شیار A، نتیجه می‌شود که در نمونه‌های با جهت شیار A، با افزایش درصد تغییرات میانگین انرژی شکست جهت شیار C، ۷/۴ % می‌باشد که نسبت به جهت شیار A، ناهمسانگردی بیشتر و نسبت به جهت شیار B، همسانگردی بیشتری در انرژی شکست این جهت شیار دیده

هرچه درصد تغییرات انرژی شکست کمتر باشد، همسانگردی انرژی شکست بیشتر خواهد شد. بنابراین در ادامه مقایسه با دو جهت شیار دیگر، نشان می‌دهد که در جهت شیار A، همسانگردی بیشتری در انرژی شکست وجود دارد. زاویه نسبت به جهت نور، انرژی شکست کاهش می‌یابد (با شب خطا رازش شده ۰/۰۳). ضریب تعیین که با علامت R<sub>2</sub> نشان داده می‌شود، بیانگر میزان احتمال همبستگی میان داده‌ها است. مقدار این ضریب بین صفر تا یک است. اگر مقدار آن به یک نزدیک‌تر باشد، می‌توان داده‌های دقیق‌تری از مدل ریاضی تعریف شده بر داده‌های واقعی به دست آورد. دلیل کوچک‌بودن مقدار R<sub>2</sub> در برآش خطی در نمودارهای تغییرات انرژی شکست میانگین، این است که اساساً تغییرات انرژی شکست بر حسب اویه نسبت به جهت نور، غیرخطی و سینوسی است. این موضوع در نتایج سایر محققین

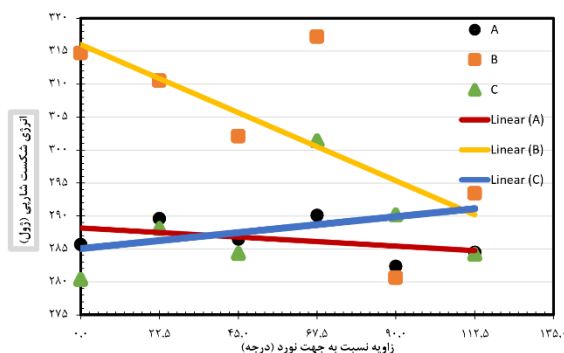
لوله مارپیچ با پیچاندن دانه‌های هم راستا شده با جهت نورد، باعث افزایش ناهمسانگردی و با حرکت دادن نابجایی‌های پیچی قفل شده در مرزهای دانه، باعث تغییر انرژی شکست نسبت به تسمه ورق نورد گرم شده می‌شود.

### ۲-۳-۲-بحث و مقایسه نتایج

با مقایسه شکل‌های ۷، ۸ و ۹ کاملاً مشخص و مشهود است که در زاویه  $75/5$  درجه نسبت به جهت نورد، در هر سه جهت شیار، بیشترین انرژی شکست شارپی نمونه‌ها به ثبت رسیده است. همچنین، میانگین انرژی شکست شارپی نمونه‌های با هر سه جهت شیار متفاوت A، B و C بر حسب زاویه نسبت به جهت نورد در شکل ۹ نمایش داده شده است. با توجه به شکل ۹ دیده می‌شود که با افزایش زاویه نمونه نسبت به جهت نورد، انرژی شکست نمونه‌های با جهت شیار A و B کاهش می‌یابد، ولی انرژی شکست در نمونه‌های با جهت شیار C، افزایش یافته است. علاوه بر این، در زاویه  $90$  درجه، کمترین اختلاف انرژی شکست بین جهت شیار B با دو جهت دیگر شیار (یعنی A و C) ایجاد می‌شود.

یعنی در زاویه  $90$  درجه، تقریباً هر سه جهت شیار، داده‌های نزدیک به یکدیگر دارند و ناهمسانگردی انرژی شکست در این زاویه به حداقل می‌رسد. در نتیجه در زاویه عمود بر جهت نورد، بیشترین همسانگردی انرژی شکست شارپی بین نمونه‌ها وجود دارد. به نظر می‌رسد در جهت عمود بر نورد، اثر عوامل تأثیرگذار بر روی ناهمسانگردی انرژی شکست، حداقل باشد و یا حداقل اثر یکدیگر را به نحو مطلوب و مثبت خنثی کرده باشند.

با مقایسه نتایج در نمودار شکل ۹، کاملاً مشهود است که جهت شیار B (که جهت شیار، عمود بر ضخامت لوله است)، همواره



شکل ۹) نمودار تغییرات میانگین انرژی شکست شارپی نمونه‌های با هر سه جهت شیار متفاوت A، B و C بر حسب زاویه نسبت به جهت نورد

می‌شود. این موضوع در ادامه با بررسی شاخص ناهمسانگردی مجددًا تأکید و تکرار می‌شود.

با مقایسه خطوط برآورد شده در شکل‌های ۶ تا ۸ دیده می‌شود که شب تغییرات انرژی شکست در جهت شیار C، (با مقدار  $0/05$ )، بیشتر از جهت شیار A، (با مقدار  $0/02$ ) و کمتر از جهت شیار B، (با مقدار  $0/22$ ) است. بنابراین نتیجه می‌شود که ناهمسانگردی انرژی شکست در جهت شیار B، بیشتر از جهت شیار C و آن هم بیشتر از جهت شیار A است. این موضوع تأکید دوباره‌ای بر نتیجه صورت گرفته در بخش قبلی است.

به منظور بررسی اثر تغییر زاویه نمونه بر روی انرژی شکست شارپی در یک جهت شیار مشخص، تغییرات بین کمترین و بیشترین انرژی شکست نمونه‌ها در زوایای مختلف، محاسبه شده و در جدول ۳ نشان داده شده است.

جدول ۳) درصد تغییرات میانگین انرژی شکست (بر حسب ژول) در یک جهت مشخص در زوایای مختلف.

جهت شیار	پارامتر
C      B      A	درصد بیشترین تغییرات انرژی شکست در زوایای مختلف
$13/2$ $24/1$ $5/4$	درصد بیشترین تغییرات میانگین انرژی شکست در زوایای مختلف
$7/4$ $13$ $2/7$	

به منظور بررسی اثر تغییر جهت شیار نمونه بر روی انرژی شکست شارپی در یک زاویه مشخص، تغییرات بین کمترین و بیشترین انرژی شکست بین جهت‌های شیار مختلف نمونه‌ها، محاسبه شده و در جدول ۴ نشان داده شده است.

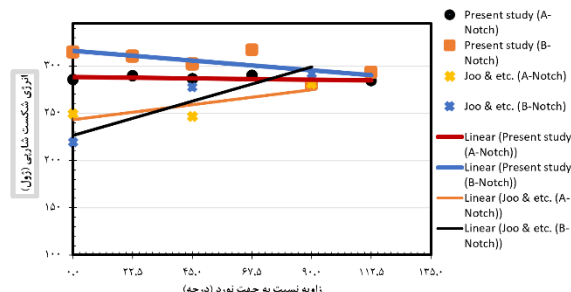
با مقایسه جداول ۳ و ۴ دیده می‌شود که بیشترین تغییرات میانگین انرژی شکست شارپی در زوایای مختلف نسبت به جهت نورد، حداقل  $13$  درصد است (در جهت شیار B) ولی بیشترین تغییرات میانگین انرژی شکست شارپی بین جهت‌های شیار مختلف، حداقل  $12/2$  درصد است (در زاویه  $0$  درجه). در نتیجه اثر تغییر زاویه نمونه استخراجی نسبت به جهت نورد بر روی انرژی شکست شارپی، بیشتر از اثر تغییر جهت شیار نمونه است.

تغییرات انرژی شکست به واسطه تغییر زاویه نمونه نسبت به جهت نورد، متأثر از فرآیند ساخت لوله مارپیچ است و تغییرات انرژی شکست به واسطه تغییر جهت شیار نمونه‌ها در یک زاویه مشخص، متأثر از فرآیند ساخت ورق نورد گرم شده می‌باشد. بنابراین نتیجه می‌شود که ناهمسانگردی ایجاد شده به واسطه فرآیند ساخت فرآیند ساخت ورق نورد گرم شده است. فرآیند ساخت به واسطه فرآیند ساخت ورق نورد گرم شده است. فرآیند ساخت

جدول ۴) درصد تغییرات کمترین و بیشترین انرژی شکست (بر حسب ژول) بین جهت‌های شیار مختلف

جهت شیار	پارامتر
درصد بیشترین تغییرات انرژی شکست بین جهات شیار مختلف	درصد بیشترین تغییرات میانگین انرژی شکست بین جهات شیار مختلف
$112/5$ $90$ $67/5$ $45$ $22/5$ $0$	$6/8$ $5/5$ $18/9$ $8/4$ $9/2$ $21$
$3/2$ $3/4$ $9/3$ $6/2$ $7/7$ $12/2$	

در پژوهش اکثر محققین، عمدتاً فقط یک جهت شیار تحت زوایای مختلف بررسی شده است و تنها در تحقیق جو و همکاران، به-منظور بررسی ناهمسانگردی انرژی شکست شارپی، دو جهت شیار مختلف A و B، مورد آزمایش قرار گرفته است، بنابراین نتایج انرژی شکست تحقیق حاضر با پژوهش جو و همکاران مقایسه و در شکل ۱۰ نشان داده شده است.



شکل ۱۰) نمودار مقایسه نتایج تحقیق حاضر با پژوهش جو و همکاران<sup>[۱۳]</sup> با توجه به شکل ۱۰ کاملاً مشخص است که افزایش زاویه نمونه نسبت به جهت نورد در ورق نورد گرم شده فولاد API X80، افزایش انرژی شکست شارپی را در پی داشته است، ولی در نمونه‌های استخراج شده از لوله واقعی ۴۸ اینچ از فولاد API X65، با افزایش زاویه نمونه نسبت به جهت نورد، انرژی شکست شارپی کاهش یافته است که نتیجه ناهمسانگردی ایجاد شده به واسطه فرآیند ساخت لوله مارپیچ می‌باشد. با این حال، در زاویه ۹۰ درجه نسبت به جهت نورد، نتایج بسیار نزدیک به یکدیگر بوده و اختلاف به حداقل ممکن خود می‌رسد. بنابراین در جهت عمود بر نورد، ناهمسانگردی خواص ضربه‌ای شارپی نسبت به شیار زوایا، کاهش یافته است. تفاوت‌های اساسی بین تحقیق حاضر با کار سایر محققین عبارت اند از:

۱- ماده مورد استفاده در این تحقیق فولاد API X65 است ولی در تحقیق جو و همکاران، فولاد API X80 و API X70 و در تحقیق مورینو و همکاران، فولاد API X80 و فولاد B2 استفاده شده است. در یک زاویه و جهت شیار مشخص، مقدار انرژی شکست به چهار عامل: ترکیب شیمیایی، نوع ریز ساختار، دمای قطعه و اندازه دانه بستگی دارد. به دلیل متفاوت بودن ترکیب شیمیایی فولاد X65 با X80، بنابراین قطعاً انرژی شکست آنها با یکدیگر تفاوت واضح و آشکاری دارد. ترکیب شیمیایی شامل درصد کربن و سایر عنصر آبیاری هست که با تغییر نوع فلز بهشت بر روی انرژی شکست تأثیرگذار است. هرچه درصد کربن کمتر شود، انرژی شکست افزایش می‌یابد<sup>[۲۰]</sup>.

۲- نمونه‌های آزمایش شده در این تحقیق، از بدنه لوله واقعی به قطر ۴۸ اینچ که به روش مارپیچ، جوشکاری شده است، استخراج شده، ولی در تحقیق سایرین، نمونه‌ها از تسمه ورق نورد گرم شده استخراج شده است. فرآیند ساخت لوله مارپیچ باعث تغییر انرژی شکست نسبت به تسمه ورق نورد گرم شده می‌شود.

سطح انرژی شکست بالاتری را نسبت به دو جهت شیار دیگر، دارا است. زیرا کارسختی حاصل از نورد، باعث فشردنگی بیشتر ذرات در راستای ضخامت ورق می‌شود، بنابراین مانند مانعی در برابر پیشروی ترک عمل کرده و باعث افزایش انرژی شکست تا مقدار حداقل ۲۲٪ (در زاویه ۰ درجه نسبت به جهت نورد) نسبت به سایر جهت‌های شیار، می‌شود. علاوه براین می‌توان نتیجه گرفت که میانگین کمترین انرژی شکست شارپی لوله (در هر سه جهت شیار) در زاویه ۹۰ درجه نسبت به جهت نورد واقع شده است. همچنین در زاویه ۰ درجه (یعنی در جهت نورد)، بیشترین اختلاف انرژی شکست بین جهت شیار B با دو جهت دیگر شیار (یعنی A و C) مشاهده می‌شود. بنابراین حداقل ناهمسانگردی انرژی شکست (بین جهت شیار B با دو جهت شیار دیگر) در جهت نورد ایجاد شده است. برای لوله‌های جوشکاری شده مارپیچ با قطر بالا، جهت محيطی لوله متناظر با جهتی است که زاویه‌ای را نسبت به جهت نورد ورق تسمه تشکیل می‌دهد و برای لوله‌های تولیدشده از یک عرض کلاف مشخص، این زاویه با قطر لوله تغییر می‌کند. بنابراین نتایج حاصله در این تحقیق که بر روی لوله واقعی به قطر ۴۸ اینچ بست آمده است، نمی‌تواند قابل تعمیم برای لوله‌ای با قطر متفاوت ولو هم جنس باشد.

در جهتی از لوله که کمترین استحکام و انرژی شکست (چقرمگی) وجود دارد، بنظر می‌رسد که احتمالاً در آن جهت شانس شکست افزایش می‌یابد. با توجه به نمودار شکل ۹، در زاویه ۶۷/۵ درجه که معادل با جهت قطری لوله است، بیشترین انرژی شکست برای هر سه جهت شیار مشاهده می‌شود، بنابراین می‌توان انتظار داشت که اگر لوله تحت بار ضربه‌ای ناگهانی در دمای پائین و به همراه میدان تنش سه‌بعدی قرار گیرد، به احتمال زیاد مسیر رشد ترک در این شرایط، راستای قطری لوله نخواهد بود. چون در این راستا، انرژی شکست ماده بیشتر از سایر زوایا و جهت‌ها است و همواره ترک مسیری را برای رشد انتخاب می‌کند که کمترین انرژی شارپی را نیاز داشته باشد.

از آنجائی که کمترین انرژی شکست برای نمونه‌های با جهت شیار A و C در زاویه صفر درجه و برای نمونه با جهت شیار B در زاویه ۹۰ درجه ایجاد شده است، بنابراین در صورت ایجاد ترک عمود بر ضخامت لوله و محیا بودن شرایط (دمای پائین و نرخ کرنش بالا)، در زاویه ۹۰ درجه نسبت به جهت نورد، احتمال شکست زوایا وجود خواهد داشت. پیش‌بینی مسیر احتمالی رشد ترک تحت بار ضربه‌ای برای سایر مواد و با فرآیندهای ساخت لوله متفاوت مثلًا روش UOE، قابل تعمیم نیست. برای این‌گونه مواد باید آزمایش‌های ضربه‌ای شارپی در زوایای متفاوت انجام شود و ناهمسانگردی انرژی شکست مورد آزمایش قرار گیرد.

است. مقایسه شاخص ناهمسانگردی تحقیق حاضر با تحقیق جو و همکاران در جدول ۵ ارائه شده است.

جدول (۵) مقایسه شاخص ناهمسانگردی تحقیق حاضر برای نمونه‌هایی با جهت‌های شیار مختلف با کار سایر محققین

جهت شیار			شاخص ناهمسانگردی
C	B	A	
۰/۵۱	۰/۹۰	۰/۱۹	تحقیق حاضر
---	۱	۰/۴۷	تحقیق جو و همکاران <sup>[۱۳]</sup>
---	۱۰	۵۹	درصد اختلاف (%)

در واقع شاخص ناهمسانگردی، اختلاف بین بیشترین و کمترین مقدار ثبت شده انرژی شکست را در هر جهت شیار به جهت نسبت اختلاف بیشترین و کمترین انرژی کل (در همه جهات شیارها) مشخص می‌کند و طبیعتاً هرچه این اختلاف کمتر باشد، یعنی ناهمسانگردی در آن جهت شیار، کمتر است و بالعکس. با مقایسه شاخص ناهمسانگردی در جدول ۵، مشاهده می‌شود بیشترین ناهمسانگردی مربوط به نمونه‌های با جهت شیار B و کمترین ناهمسانگردی مربوط به جهت شیار A است. مقایسه نتایج شاخص ناهمسانگردی انرژی شکست تحقیق حاضر، با پژوهش جو و همکاران، نشان می‌دهد که نتایج تقریباً یکسان و مشابهی در مورد شاخص ناهمسانگردی با هر دو تحقیق وجود دارد و تطابق خوب و مناسبی با یکدیگر دارند. افزون براین، کوچک‌تر بودن شاخص ناهمسانگردی در فولاد API X65 نسبت به فولاد API X80، نشان‌دهنده همسانگردی بیشتر انرژی شکست فولاد API X65 نسبت به فولاد API X80 است. در جهت شیار A، فولاد API X65 به اندازه ۵۹ % در جهت شیار B، به اندازه ۱۰ % نسبت به فولاد API X80 دارای همسانگردی انرژی شکست بیشتری است.

#### ۴-نتیجه گیری

در این پژوهش، آزمایش ضربه شارپی بر روی نمونه‌هایی از بدنه لوله واقعی با جنس فولاد API X65 که با زوایا و جهات شیار متفاوت A، B و C نسبت به جهت نورد از لوله استخراج شده، انجام گردیده و نتایج زیر حاصل شده است:

۱-لوله‌های جوشکاری شده مارپیچ با شروع از مواد نامتجانس به صورت سرد شکل‌دهی شده و جهت نورد با توجه به زاویه مارپیچ لوله، تغییر می‌کند، بنابراین لوله تولید شده ذاتاً خواص ناهمسانگردی را از خود نشان می‌دهد.

۲-در نمونه‌های با جهت شیار A، کمترین و بیشترین انرژی شکست به ترتیب ۲۸۲/۴ ژول (در زاویه ۹۰ درجه) و ۲۹۰/۱ ژول (در زاویه ۶۷/۵ درجه) است. درصد تغییرات انرژی شکست در جهت شیار A، ۲/۷ % می‌باشد.

۳-نمونه‌های آزمایش شده در این تحقیق در دمای محیط مورد آزمایش قرار گرفته است، ولی در تحقیق سایرین، عمدتاً در دماهای زیر صفر و تا -۱۰۰- درجه سلسیوس آزمایش صورت گرفته است. در دماهای پایین، مخصوصاً پایین‌تر از دمای گذار تردی به نرمی، به دلیل رفتار ترد مواد، انرژی شکست بهشت کاهش می‌یابد.

۴-در تحقیق حاضر در هر زاویه مشخص نسبت به جهت نورد، انرژی شکست نمونه‌ها در سه جهت شیار متفاوت، به دست آمده است، ولی در تحقیق سایرین، بجز در تحقیق جو و همکاران (در دو جهت شیار)، فقط یک جهت شیار خاص در نظر گرفته شده است. برای این‌گونه تحقیقات، شاخص ناهمسانگردی قابل تعریف نیست.

۵-در کار سایر محققین، نمونه‌ها تحت زوایای معروف ۰، ۴۵ و ۹۰ درجه از ورق تسمه استخراج شده‌اند، ولی در تحقیق حاضر، نمونه‌ها با زاویه ۲۲/۵ درجه نسبت به یکدیگر و با شروع از جهت نورد، آزمایش شده‌اند.

#### ۳-۳-تعريف و تعیین شاخص ناهمسانگردی

به منظور مقایسه کمی تغییرات انرژی شکست در جهت‌های شیار متفاوت در سه جهت عمود بر هم، شاخصی با عنوان شاخص ناهمسانگردی (Anisotropy Index) به صورت زیر تعریف شده است:

*Index<sub>Anisotropy</sub>*

$$= \frac{((MAX(CVN))_{orie. i} - (MIN(CVN))_{orie. i})}{((MAX(CVN))_{Overall\ orie.} - (MIN(CVN))_{Overall\ orie.})} \quad (1)$$

در رابطه (۱)، عبارت  $(MIN(CVN))_{orie. i}$  و  $(MAX(CVN))_{orie. i}$  به ترتیب حداکثر و حداقل مقادیر انرژی شارپی در جهت‌گیری موردنظر در تمام زوایا (از زاویه صفر تا ۱۱۲/۵ درجه) و در دمای هدف (در اینجا دمای محیط) است. همچنین  $(MIN(CVN))_{Overall\ orie.}$  و  $(MAX(CVN))_{Overall\ orie.}$  به ترتیب حداکثر و حداقل مقدار انرژی شارپی در کل جهت‌های موردمطالعه است. مقدار  $i=1$  می‌تواند جهت شیار A،  $i=2$  جهت شیار B و  $i=3$  جهت شیار C باشد. مقدار شاخص ناهمسانگردی، عددی بین صفر تا یک است. اگر مقدار آن به یک نزدیک‌تر باشد، به معنای ناهمسانگردی بیشتر، و با نزدیک‌تر شدن آن به سمت صفر، به معنای همسانگردی بیشتر انرژی شکست شارپی می‌باشد.

بر اساس دانش نویسنده‌گان این تحقیق، رابطه شاخص ناهمسانگردی، که اهمیت قابل توجه‌ای در مقایسه تغییرات انرژی شکست شارپی در جهات شیار متفاوت دارد، تاکنون ارائه نشده است و تاجائی که نویسنده‌گان می‌دانند، برای اولین بار در این تحقیق، ابداع و ارائه شده است و یکی دیگر از نوآوری‌های این تحقیق به حساب می‌آید. این شاخص برای مقایسه و بررسی شاخص ناهمسانگردی در حداقل دو جهت شیار قابل استفاده

اندازه ۱۰٪ نسبت به فولاد API X80 همسانگردی انرژی شکست بیشتری دارد.

**تشکر و قدردانی:** از شرکت لوله و تجهیزات سدید به لحاظ در اختیار قراردادن لوله فولادی API X65، از دانشگاه پیامنور کرمان به لحاظ تأمین امکانات آزمایشگاهی ضربه شارپی و همچنین از آقای مهندس صادقی (کارگاه ماشینابزار دانشگاه بیرجند) تشکر و قدردانی می‌شود.

**تاییدیه اخلاقی:** بن مقاله تاکنون در نشریه دیگری به چاپ نرسیده و محتوای ادبی مقاله منتج از فعالیت علمی خود نویسنده است.

**تعارض منافع:** مقاله حاضر هیچ گونه تعارض منافعی با پایان نامه/رساله و طرح پژوهشی ندارد.

**منابع مالی:** منابع مالی توسط نویسنده تأمین شده است.

## منابع

- 1-API Specifications, 5L (2007) Specifications for line pipe. American Petroleum Institute, Washington, DC.
- 2- Rothwell AB. Fracture propagation control for gas pipelines-past, present and future. 3rd International Pipeline Technology, Belgium, 2000. 2000:387-405.
- 3- Han SY, Shin SY, Seo CH, Lee H, Bae JH, Kim K, Lee S, Kim NJ. Effects of Mo, Cr, and V additions on tensile and Charpy impact properties of API X80 pipeline steels. Metallurgical and Materials Transactions A. 2009; 40(8):1851-62.
- 4- Van Minnebruggen K. Experimental-numerical study on the feasibility of spirally welded pipes in a strain based design context (Doctoral dissertation, Ghent University).
- 5- Akbarzadeh A, Collins LE, Kostic M, Jonas JJ. Effect of thermomechanical processing parameters on yield strength anisotropy in a niobium microalloyed steel. In36 th Mechanical Working and Steel Processing Conference 1994 (pp. 337-344).
- 6-Mourino., N.S., Crystallographically Controlled Mechanical Anisotropy of Pipeline Steel. PhD thesis, Ghent University, 2011.
- 7- Al Jabr HM, Speer JG, Matlock DK, Zhang P, Cho SH. Anisotropy of Mechanical Properties of API-X70 Spiral Welded Pipe Steels. InMaterials Science Forum 2013 (Vol. 753, pp. 538-541). Trans Tech Publications Ltd.
- 8- Chen MY, Linkens DA, Bannister A. Numerical analysis of factors influencing Charpy impact properties of TMCR structural steels using fuzzy modelling. Materials science and technology. 2004 ;20(5):627-33.
- 9-Majidi A, Hashemi S. Study of macroscopic fracture surface characteristics of spiral welded API X65 gas transportation pipeline steel. Modares Mechanical Engineering. 2018; 17 (11):219-228.
- 10- Tóth L, Rossmanith HP, Siewert TA. Historical background and development of the Charpy test. InEuropean Structural Integrity Society 2002 (Vol. 30, pp. 3-19). Elsevier.

۳- درصد تغییرات انرژی شکست در جهت شیار B، ۱۳٪ می‌باشد و کمترین و بیشترین انرژی شکست به ترتیب ۲۸۰/۶ ژول (در زاویه ۹۰ درجه) و ۳۱۷/۲۳ ژول (در زاویه ۶۷/۵ درجه) است.

۴- در نمونه‌های با جهت شیار C، کمترین و بیشترین انرژی شکست به ترتیب ۲۸۰/۴ ژول (در زاویه ۰ درجه) و ۳۰۱/۴ ژول (در زاویه ۶۷/۵ درجه) است. درصد تغییرات انرژی شکست در جهت شیار C، ۷/۴٪ می‌باشد.

۵- هرچه درصد تغییرات انرژی شکست کمتر باشد، همسانگردی بیشتری وجود دارد. بنابراین، همسانگردی انرژی شکست در نمونه‌های با جهت شیار A، بیشتر از نمونه‌های با جهت شیار C و آن هم بیشتر از نمونه‌های با جهت شیار B است.

۶- با توجه به اینکه بیشترین تغییرات میانگین انرژی شکست شارپی در زوایای مختلف نسبت به جهت نورد، حداقل ۱۳٪ و بیشترین تغییرات میانگین انرژی شکست شارپی بین جهت‌های شیار مختلف، حداقل ۱۲/۲٪ می‌باشد، بنابراین اثر تغییر زاویه نمونه استخراجی نسبت به جهت نورد بر روی انرژی شکست شارپی، بیشتر از اثر تغییر جهت شیار نمونه است.

۷- ناهمسانگردی ایجادشده به واسطه فرآیند ساخت لوله مارپیچ، بیشتر از ناهمسانگردی ایجادشده به واسطه نوع فرآیند ساخت ورق نورد گرم شده است.

۸- در جهت قطری لوله (زاویه ۶۷/۵ درجه نسبت به جهت نورد)، بیشترین انرژی شکست شارپی نمونه‌ها برای هر سه جهت شیار مشاهده می‌شود.

۹- در جهت عمود بر نورد (زاویه ۹۰ درجه نسبت به جهت نورد)، ناهمسانگردی انرژی شکست به حداقل رسیده و هر سه جهت شیار، مقادیر انرژی شکست نزدیک به یکدیگر دارند. در نتیجه بیشترین همسانگردی انرژی شکست شارپی بین نمونه‌ها در جهت عمود بر نورد، دیده می‌شود.

۱۰- به منظور مقایسه کمی تغییرات انرژی شکست در جهت‌های شیار متفاوت (سه جهت شیار عمود بر هم)، شاخصی با عنوان شاخص ناهمسانگردی تعریف شده است. مقدار این شاخص، عددی بین صفر تا یک است. اگر مقدار آن به یک نزدیکتر باشد، به معنای ناهمسانگردی بیشتر، و با نزدیکتر شدن آن به سمت صفر، به معنای همسانگردی بیشتر انرژی شکست شارپی می‌باشد.

۱۱- با مقایسه شاخص ناهمسانگردی، ملاحظه می‌شود بیشترین ناهمسانگردی مربوط به نمونه‌های با جهت شیار B و کمترین ناهمسانگردی مربوط به نمونه‌های با جهت شیار A است.

۱۲- کوچکتر بودن شاخص ناهمسانگردی در فولاد API X65 نسبت به فولاد API X80، نشان‌دهنده همسانگردی بیشتر انرژی شکست فولاد API X65 نسبت به فولاد API X80 است. در جهت شیار A، فولاد API X65 به اندازه ۵۹٪ در جهت شیار B، به

- 11- Mohan R, Marschall C, Krishnaswamy P, Brust F, Ghadiali N, Wilkowski G. Effects of toughness anisotropy and combined tension, torsion, and bending loads on fracture behavior of ferritic nuclear pipe. Battelle Memorial Inst., Columbus, OH (United States); 1995.
- 12- García OL, Petrov RH, Bae JH, Kestens LA, Kang KB. Microstructure-texture related toughness anisotropy of API-X80 pipeline steel. In Advanced Materials Research 2007 (Vol. 15, pp. 840-845). Trans Tech Publications Ltd.
- 13- Joo MS, Suh DW, Bae JH, Bhadeshia HK. Role of delamination and crystallography on anisotropy of Charpy toughness in API-X80 steel. Materials Science and Engineering: A. 2012; 546:314-22.
- 14- Mourino NS, Petrov R, Bae JH, Kim K, Kestens LA. Texture dependent mechanical anisotropy of X80 pipeline steel. Advanced Engineering Materials. 2010; 12(10):973-80.
- 15- Reip CP, Shanmugam S, Misra RD. High strength microalloyed CMn (V-Nb-Ti) and CMn (V-Nb) pipeline steels processed through CSP thin-slab technology: Microstructure, Precipitation and Mechanical Properties. Materials Science and Engineering: A. 2006; 424(1-2):307-17.
- 16- Hashemi SH, Mohammadyani D. Characterisation of weldment hardness, impact energy and microstructure in API X65 steel. International Journal of Pressure Vessels and Piping. 2012; 98:8-15.
- 17- ASTM E2. Standard test methods for notched bar impact testing of metallic materials. E23-07a, Pennsylvania, PA, USA. 2007.
- 18- ASTM A. 20/A20M-99a. 1999. Standard Specification for General Requirements for Steel Plates for Pressure Vessels.
- 19-ASTM, A 370-91a. Standard Test Methods and Definitions for Mechanical Testing of Steel Products, Annual Book of ASTM Standards, ASTM Philadelphia, p. 249-294. 1992.
- 20- Callister WD, Rethwisch DG. Materials science and engineering: an introduction. New York: Wiley; 2018.